

宇都宮大学 正会員 佐藤良一
東京工業大学 正会員 長瀬重義

1. まえがき

温度変化や乾燥収縮などに起因する体積変化が拘束されることによって生じるRC部材のひびわれはいわゆる不安定領域にあってその間隔が広いことが知られている。RC部材のひびわれが不安定領域にあることを対象として変形・ひびわれなどの解析を行なう場合、鉄筋ひずみの軸方向の変化が大きいため、付着特性を忠実に解析に取り入れることが大切であると考えられる。

先に筆者らは持続引張荷重を受けるRC部材の変形・ひびわれ解析の一方法を、コンクリートおよび付着のクリーフ特性を考慮して、示したが¹⁾、これはひびわれが安定した状態にある部材を対象とし、かつコンクリートの乾燥収縮はないとした場合の解析であった。

本報告は、上記のことから、ひびわれの不安定領域にあるRC引張部材のひびわれ間要素を面引きき供試体にモデル化し、それが持続荷重と乾燥収縮を同時に受けた場合の変形解析を行ない、解析値と実験値を比較したものである。

2. 解析

2.1 付着応力-すべり量曲線

解析に用いた付着応力-すべり量($\tau - \delta$)曲線の形は六車らの提案式²⁾を用いた。静的載荷時の $\tau - \delta$ 曲線の傾きは図-1に示すように、同一形状寸法で飽水状態にある供試体から得られた実験結果³⁾に基づいて定めた。ひびわれ近傍の付着劣化は黒正らの実験⁴⁾および筆者らの実験⁵⁾に基づいて、付着強度がひびわれ断面から $10D_s$ (D_s :鉄筋径) の範囲でひびわれ断面に向かって直線的に低下する(ひびわれ断面では $\tau_{max}(t_i, x) = \tau_{max}/2$, τ_{max} :ひびわれ近傍を除く一般部の付着強度)として考慮した。

付着イソツーフ特性は高橋らの実験⁶⁾に基づいて定めた。

2.2 乾燥収縮

コンクリートの乾燥収縮ひずみは面引きき供試体($20 \times 20 \times 100$ cm,両端エポキシ樹脂コートティング)と同一断面を有する供試体($20 \times 20 \times 50$ cm)で測定した値を用い、その経日変化は図-2に示すところである。

2.3 コンクリートのクリーフ特性

解析に用いたコンクリートのクリーフ特性は図-3に示すところであり、実測値は上記のものと同じ形状寸法を有する供試体から得られたものである。

3. 基礎方程式

基礎方程式は次の仮定のもとで導かれた。

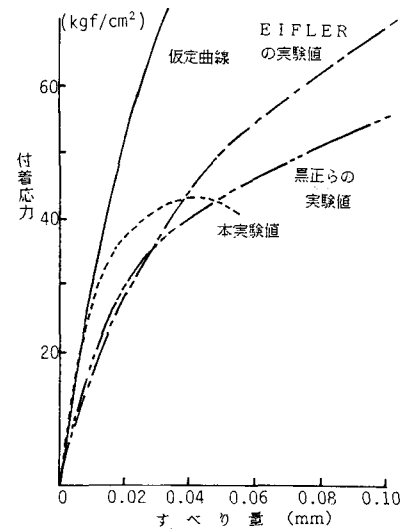


図-1 付着応力-すべり曲線

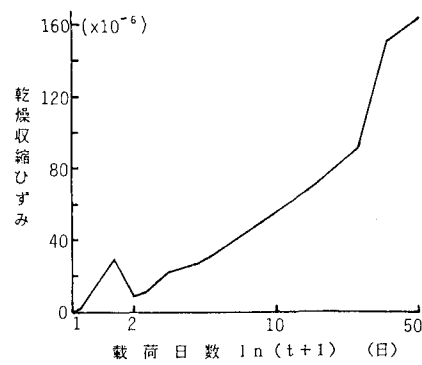


図-2 乾燥収縮ひずみ

- i) コンクリートの瞬間弾性係数 E_0 は一定である。
- ii) コンクリートは断面内において一様に変形する。
- iii) コンクリートの乾燥収縮は断面内および軸方向の任意断面において一様である。

以上の仮定から付着の基礎方程式は最終的に次式で表わされる。¹⁾

$$\frac{d^2 S(t_i, x)}{dx^2} = \frac{\sigma_s}{A_s E_s} \left\{ 1 + \frac{A_s E_s}{A_c \delta(t_i)} \right\} \frac{\gamma_{max}(t_i, x)}{\delta_{max}(t_i, x)} \frac{\ln\{(e-1)S(t_i, x)+1\}}{(e-1)S(t_i, x)+1}$$

$$- \frac{1}{\delta_{max}(t_i, x)} \frac{dE_{cr}(t_i + t_{cr}/2, x)}{dx} \quad (1)$$

ここで、

$S(t_i, x) = \delta(t_i, x)/\delta_{max}(t_i, x)$, A_s , E_s , σ_s : 鉄筋の断面積, 弹性係数, 間長, A_c : コンクリートの断面積, $\delta_{max}(t_i, x)$: $\gamma_{max}(t_i, x)$ のときのすべり量, E_{cr} : クリープひずみ

式(1)は図-4に示す境界条件のもとで解けばよい。乾燥収縮の影響は、この図に示すように、簡単な形で取り扱えることができる。

4. 実験値と解析値の比較

実験は室内(温度: 2~9°C, 湿度: 45~65% R.H.)で行ない、供試体には鉄筋応力として 2000, 1000 kgf/cm² 一定荷重を与えた。温度変化によるひずみを補正した。

図-5は、鉄筋応力をして 2000 kgf/cm² を与えた場合の鉄筋およびコンクリートの材軸方向分布の経日変化について実験値と解析値を比較したものである。

これによれば、傾向的には、乾燥収縮が鉄筋やコンクリートのひずみ分布にあたず影響せひの実験結果の性状を解析値がかなりよく表わしているといえよう。

図-6は鉄筋応力をして 1000 と 2000 kgf/cm² を与えた場合の鉄筋の抜け出し量について実験値と解析値を比較して示したものである。

鉄筋応力が 2000 kgf/cm² の場合、解析値は実験値より最大で 30% 程度小さいが、載荷後 1 日以降の増加傾向はかなりよく一致しているといえる。また、1000 kgf/cm² の場合は、傾向とも両者はよく一致しているのがわかる。

〈参考文献〉

1) 長瀬, 沢藤: 構造用コンクリート部材の實験的解析に関する研究, 第5回コンクリート工学年講演会集, (1983, 2) 六五: 鉄筋コンクリートの付着に関する基礎的研究, 建築学会論文集, 昭和 42 年, 3) 佐々木, 佐藤: 鉄筋コンクリートの付着特性, 第 6 回コンクリート工学年講演会集, (1984, 4) 三五: 鉄筋コンクリートの付着の基礎的研究, 建築学会論文集, 昭和 47 年, 5) 高橋: ネスラフの長期における変形・変位・内力挙動, 大林組技術報告, 97 号

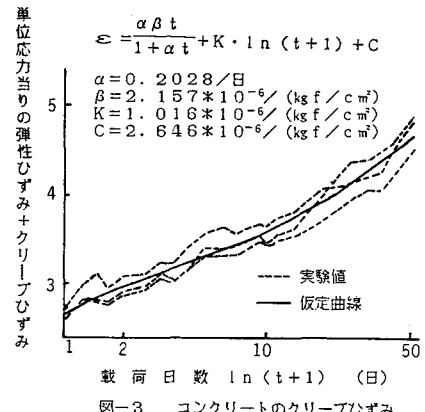


図-3 コンクリートのクリープひずみ

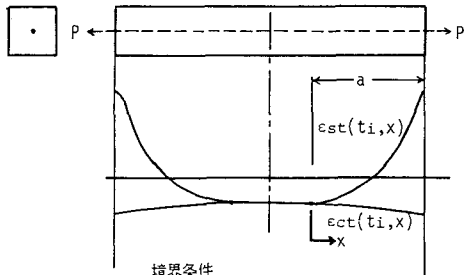


図-4 境界条件

$$x=0; \delta(t_i, x)=0, \frac{d\delta(t_i, x)}{dx}=0$$

$$x=a; \frac{d\delta(t_i, x)}{dx}=est(t_i, x)-esh$$

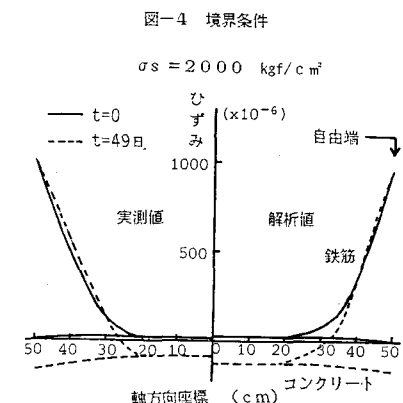


図-5 ひずみの経日変化

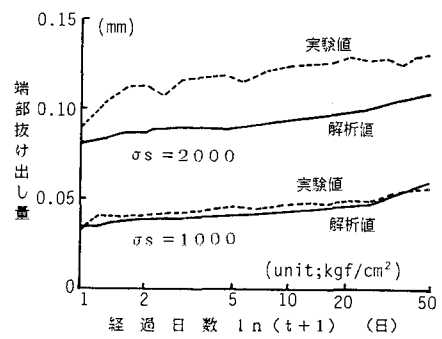


図-6 端部抜け出し量の経日変化